

小水电智能微电网可靠性分析

邢智博, 任家智, 辛鑫, 王永珪, 刘子源

(山西能源学院, 山西 太原 030001)

摘要 近些年, 社会各界对电力需求逐步提高, 如何保证电力系统具有良好的安全性与可靠性, 已成为业内人士关注的焦点, 在此背景下, 智能微电网应运而生, 将智能微电网融入现代电网, 可有效提升电网稳定性及电力输送能力。文章以智能微电网为研究对象, 首先介绍了可靠性分析所涉及的内容, 其次详细说明了分析的过程, 包括建模、确定可靠性指标和进行评估, 最后以相关结果为依据, 围绕负荷峰值、水库容量与电网可靠性之间所存在的关系进行分析研究, 得出有关结论。

关键词 智能微电网; 小水电站; 建立模型; 可靠性分析

中图分类号: TM76

文献标识码: A

文章编号: 1007-0745(2023)09-0017-03

近些年, 环境污染、能源稀缺等问题日益严峻, 如何充分利用清洁能源成为业内人士研究的重点, 智能微电网的出现, 使能源利用率得到了大幅提高。作为由微电网、智能电网组合而成的全新电力系统, 智能微电网可兼具孤岛及并网模式, 这也决定其可以对风能和光伏等常见能源进行充分利用。若将其用于偏远地区, 可以有效控制铺设电缆的规模, 降低项目投资费用; 将其应用于城镇地区, 则能够通过减轻用电负荷的方式, 提升大电网稳定性。

1 研究背景

本文所研究微电网系统由小水电系统、光伏发电系统、风力发电系统及蓄电池等部分组成, 系统作为独立电网运行, 不考虑与电网接入情况。在运行过程中, 通常需要经由上述构件控制频率电压并提供无功/有功功率, 这也决定了一旦设备出现故障, 便有较大概率造成负荷停电。目前, 可能造成负荷停电的情形主要包括以下几种: 首先是分布式电源出现故障, 故障发生后, 通常需要花费数小时或是数天进行维修, 方可恢复正常。其次是电源受故障影响而跳机, 此时, 需要工作人员重启电源, 重启前, 重要负荷始终处于停电状态, 自动重启的用时通常为数秒, 手动重启的用时则会达到数小时。最后是由于电压跌落或是其他电能质量问题, 致使设备调机。研究发现, 开关动作、闪点以及故障均会造成电压跌落, 若分布式电源所接入负荷较多, 则需要频繁开关, 供电可靠性也会受到影响^[1]。

2 可靠性分析内容

微电网的本质是由负荷、分布能源和储能装置共同组成的发配电系统, 智能电网则具有与供电网路相同的作用, 即: 以既有传感器为依托, 实时收集设备

参数, 向控制系统下达相应指令, 由此达到对电力系统进行科学管理的目的^[2]。因此, 对微电网可靠性进行分析势在必行。可靠性分析主要涉及两方面内容, 分别是安全性、充裕度, 这两方面内容对微电网长期可靠供电有巨大影响, 对常规配电系统进行分析能够发现, 虽然可以影响系统可靠性的因素较多, 但充裕度所带来影响明显强于其他因素, 任一元件出现故障, 均会造成供电中断, 进而对用户工作或是生活产生影响。对本文所讨论的智能微电网而言, 其所表现出的可靠性主要取决于互联系统, 要想使系统得到稳定、可靠的运行, 关键是要对动态问题进行深入分析, 根据分布式电源的性能, 评估系统可靠性。为保证分析所得出结论具有实际意义, 在仿真分析中引入负荷数据、等效动态模型, 基于此类方法, 保证分析结果具有实际意义。

3 可靠性分析过程及结果

本文所讨论微电网由小水电、光伏和储能等部分组成, 对其可靠性加以评估所考虑要素见图 1。

本文主要分析微电网独立运行情况, 小水电系统在其中作用主要体现在两个方面: 一是为微电网持续供电; 二是对储能电站进行协调, 使电力负荷和发电系统始终处于供需平衡的状态^[3]。

3.1 分析过程

3.1.1 建立模型

首先是小水电模型。实践经验表明, 导致小水电停运的原因有两个, 分别是机组存在故障、水位高度不满足要求, 基于以上两个原因建立相应模型。若将水轮机所搭载机组数量设定为 n , 将任一机组出现停运事故的概率设定为 r , 可以得到模型如下:

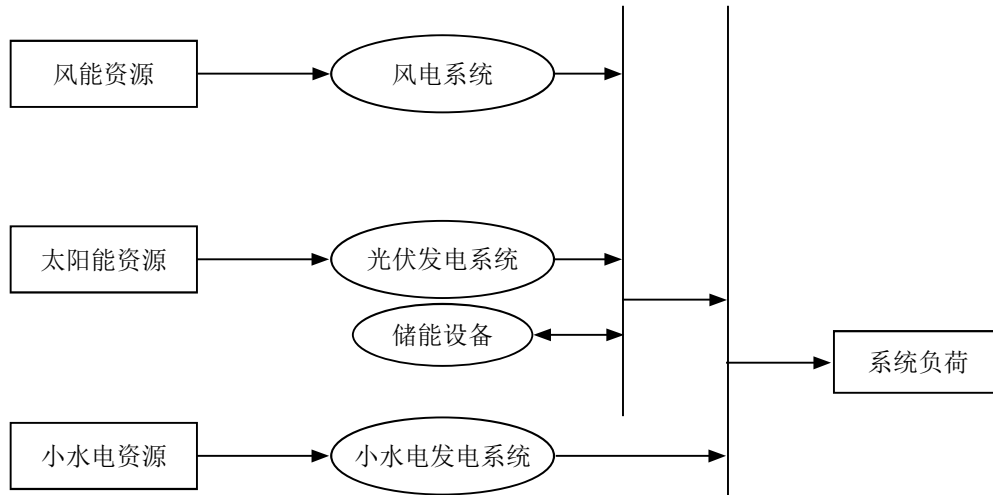


图1 可靠性评估要素

$$P_k = \sum_{i=1}^k C_n^k r^i (1-r)^{n-i} = \sum_{i=1}^k \frac{n!}{i!(n-i)!} r^i (1-r)^{n-i}$$

该模型中， k 代表停运机组总数； P_k 代表累计停运概率。在 0~1 范围内随机抽取多组数据，对比所抽取数据和累计停运概率，则能够准确掌握既有机组的状态、可稳定运行的机组数量，随后，再以系统针对机组运行情况、小水电出力情况所提出要求为依据，参考状态持续时长完成抽样，便可以对小水电出力加以确定。

其次是装置模型。评估光伏、储能和风电可靠性的模型首选两态模型，其构成见图 2：

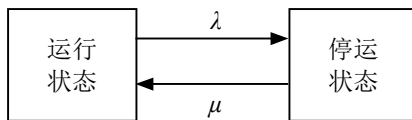


图2 两态模型

图 2 中， μ 代表修复转移率； λ 代表故障转移率。基于蒙特卡罗法，快速确定 $MTTF$ 、 $MTTR$ 取值^[4]。考虑到状态持续时长对应抽样值具有指数分布特征，因此，可使用下列公式推算系统修复时长、无故障时长：

$$MTTF=1/\lambda$$

$$MTTR=1/\mu$$

$$TTF=MTTF \times 1nU$$

$$TTR=MTTR \times 1nU'$$

在上述公式中， $MTTF$ 代表无故障时长平均值； $MTTR$ 代表修复时长平均值； TTF 代表无故障时长； TTR 代表修复时长； U 及 U' 均为随机数，取值范围是 0~1。确定各项参数的取值后，便可以对强迫停运率进行计算，相关公式如下：

$$FOR = \frac{\lambda}{\lambda + \mu}$$

该公式中， FOR 代表强迫停运率。

最后是可靠性模型。研究中，根据时序负荷情况建立了相应的模型，简单来说，就是在年负荷最大值确定的前提下，使用百分数描述日负荷、周负荷的最大值。上述工作结束后，便可以得到系统负荷情况。

系统全年负荷峰值假定出现在 51 周，如果将冬季作为一年的开端，冬季负荷明显高于其他季节，如果将夏季作为一年的开端，则代表夏季负荷高于其他季节。要想快速、准确地计算出负荷期望值，建立以下表达式，即：

$$P_{lst(t)} = P_{week(t)} \times P_{day(t)} \times P_{hour(t)} \times P_{lmax}$$

在该表达式中， $P_{lst(t)}$ 代表负荷期望值。 P_{lmax} 代表年负荷最大值。 $P_{week(t)}$ 代表周负荷最大值与年负荷最大值之比。 $P_{day(t)}$ 代表日负荷最大值与周负荷最大值之比。 $P_{hour(t)}$ 代表小时负荷最大值与日负荷最大值之比。

3.1.2 确定可靠性指标

对电力系统而言，其可靠性指标往往包括两类，分别是概率指标、确定性指标，其中，确定指标难以对系统状态进行全方位的表现，概率指标则不存在该问题^[5]。

鉴于此，本文选择以系统、负荷为切入点，围绕可靠性指标展开讨论。

在正式展开研究之前，先将系统分成三层，第一层的评估对象是发电系统，可以简单理解为对电源可靠性进行评估，第二层是发输电系统，第三层是电力系统，本文研究的对象为微电网，因此，应当将重心放在发电系统上。在对多方面因素加以考虑后，最终

确定 $LOEE$ 、 $LOLE$ 两大指标, 二者的含义和计算公式如下:

$$LOEE = \frac{1}{N} \sum_{i=1}^N ENS_i$$

$$LOLE = \frac{1}{N} \sum_{i=1}^N LLD_i$$

上述公式中, $LOEE$ 代表电源发电量与负荷需求不符时微电网所期望的电量; ENS_i 代表各抽样年中均无法达到负荷需求的实际电量。 $LOLE$ 代表微电网对电源与负荷需求不符时间的期望; LLD_i 代表各抽样年中存在电力不足问题的时长。随后, 便可以充分利用评估指标、已建立模型, 对微电网各部分状态进行判断, 结合时序模拟分析所得结果, 确定微电网性能、既有负荷点是否可靠。

3.1.3 评估微电网可靠性

在研究中, 依据蒙特卡罗法分析系统可靠性, 以小时为单位, 记录系统电源运行参数、负荷变化情况。模拟总时长是 365 天, 时间的间隔是 1h, 具体流程如下:

第一步, 以年为单位, 获取小水电、光伏以及负荷的相关数据, 生成相应的出力时序。

第二步, 以既有模型为基础, 使用现有公式推算电源的状态时序。

第三步, 根据状态时序、出力时序, 对功率输出时序加以确定。

第四步, 对比负荷需求、电源出力情况, 对 $LOEE$ 、 $LOLE$ 取值进行计算, 参考相应的经济指标, 得出最终结论。

3.2 分析结果

3.2.1 负荷峰值与可靠性的关系

本文所研究智能微电网搭载有相应的发电系统, 系统可靠性极易被负荷波动所影响。对负荷峰值、系统可靠性之间的关系进行分析, 能够准确掌握系统所能承受负荷的最大值, 便于工作人员以微电网所展示出状态为依据, 对后续运行方案及策略加以调整, 使发电系统以及微电网始终处于稳定、高效的运行状态。研究发现, 负荷峰值在 60kW 以下时, 各项可靠性指标相对稳定, 这表示发电系统与负荷需求相符, 负荷峰值超过 60kW 后, 各项指标均会发生明显的变化, 换言之, 要想使系统得到稳定且高效的运行, 关键是要保证负荷值不超过 60kW。

3.2.2 水库容量与可靠性的关系

基于评估可靠性的模型模拟微电网所搭载电力系统, 可以得到以下数据:

首先, 每组水电机组的容量都是 30MW。

其次, 水库原始水量能够达到其容量的 95%~97%。

最后, 结合某地所提供统计数据可知, 水体径流量的平均值在 $0.32\text{m}^3/\text{s}$ 左右, 由此可见, 水流量与水电机组所提出需求相符, 这表示水流量可以维持水电机组稳定运行。

随后, 围绕水库容积、系统可靠性之间的关系展开研究。通过模拟不同容积的水库, 判断容积对可靠性指标所产生的影响。经过分析发现, 在负荷确定、上游水量确定的前提下, 水库蓄水量会随着容积的增大而增多, 与此同时, $LOEE$ 、 $LOLE$ 的取值均会有所下降。水库容积增大到 $15\text{万}\text{m}^3$ 后, 蓄水量差值将处于相对稳定的状态, $LOEE$ 、 $LOLE$ 的下降速度有所减慢, 并逐渐趋于平缓, 同时既有水资源的利用率也较以往有所提高。由此可见, 对本项目而言, 要想使系统具有良好的可靠性, 关键是要将水库容积控制在约 $15\text{万}\text{m}^3$ 。

4 结论

综上, 本文分别对储能、小水电、风电以及光伏模型进行了模型建立, 根据电源所展示出运行状态, 围绕峰值负荷、水库容积与系统可靠性之间的关系展开了讨论。现将研究所得结论归纳如下: 其一, 峰值负荷与系统可靠性密切相关, 要想使本系统得到稳定运行, 应保证峰值负荷始终不超过 60kW。其二, 水库容积同样会对系统可靠性产生影响, 酌情增大水库容积, 既能够使系统更加可靠, 又可以为项目所具有的经济价值提供保证, 但要注意一点, 若是水库容积增大过多, 将会对可靠性造成负面影响。

参考文献:

- [1] 廖微. 智能微电网中具有可扩展性的 Web 漏洞扫描工具研究与实现 [J]. 信息安全研究, 2022, 08(12): 1198-1208.
- [2] 姜宝建. 城市轨道交通再生储能与智能微电网的融合应用探索 [J]. 城市轨道交通研究, 2022, 25(03): 199-203.
- [3] 潘少峰, 杨述. 应用于水上加油船的光储柴一体化智能微电网的研究 [J]. 太阳能, 2021(06): 58-66.
- [4] 唐黄正, 陈文科, 朱志伟, 等. 基于 TCP/IP 的智能微电网负载管理系统设计 [J]. 科技创新与应用, 2021, 11(14): 55-57.
- [5] 单栋梁, 刘向立, 徐利凯, 等. 用户侧光储充一体化智能微电网系统应用研究 [J]. 电器与能效管理技术, 2020(02): 41-46.